

Aéroélasticité en Aéronautique :

I - Aéroélasticité statique des profils

jean-camille.chassaing@sorbonne-universite.fr (2020-2021)



Dryden Flight Research Center ECN 31306 Photographed 1984
Video frame 07.15.41.5 of DAST with diverging wingtip oscillations.
NASA photo



Plan du chapitre

- ① Introduction
- ② Divergence par torsion
- ③ Configuration aile/volet
 - Vitesse critique d'instabilité
 - Perte d'efficacité des gouvernes
 - Vitesse critique d'inversion
 - Critère d'efficacité

1. Introduction

Configuration aéroélastique

- aile + volet
- gouvernail
- gouverne de profondeur



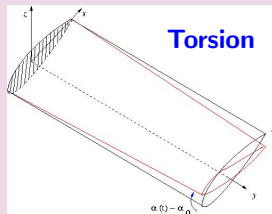
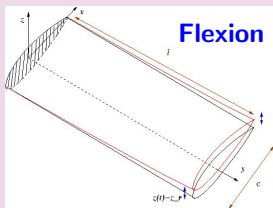
1. Introduction

Configuration aéroélastique

- aile + volet
- gouvernail
- gouverne de profondeur

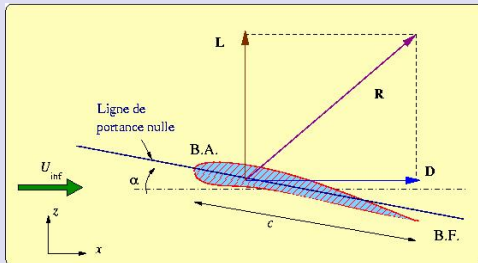


Mouvement d'une aile droite élastique



1. Introduction

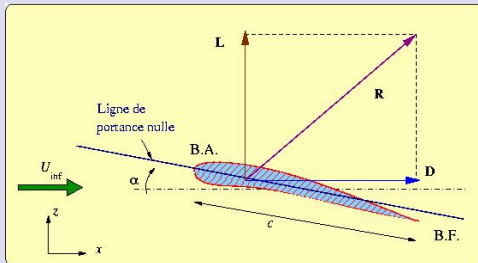
Charges aérodynamiques sur un profil



- α : angle d'attaque
- \vec{R} : résultante des forces aérodynamiques
- L : la portance est la projection de \vec{R} suivant la perpendiculaire (ascendante) à la direction de l'écoulement
- D : la traînée est la projection de \vec{R} suivant la direction de l'écoulement

1. Introduction

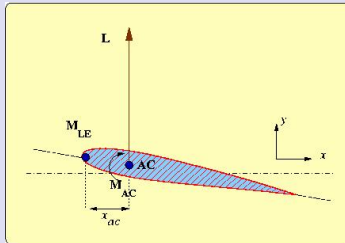
Coefficients aérodynamiques



- S : surface de l'aile par unité d'envergure
- $q_{\infty} = \frac{1}{2} \rho_{\infty} U_{\infty}^2$: pression dynamique
- $C_L = \frac{L}{q_{\infty} S}$: coefficient de portance
- $C_D = \frac{D}{q_{\infty} S}$: coefficient de trainée
- $C_p = \frac{p - p_{\infty}}{q_{\infty}}$: coefficient de pression

1. Introduction

Moments aérodynamiques



- \vec{M}_{aero} : moment de tangage (ou de torsion) des forces aéro.
- $C_{mac} = \frac{M_{aero}}{q_{\infty} S c}$: coefficient de moment
- Centre de poussée : point d'application de la force de portance (varie en fonction de α)
- x_{ac} : la position du foyer aérodynamique (AC) est définie de telle sorte que \vec{M}_{aero} soit indépendante de l'angle d'incidence:
RQ.: pour $M < 0.3 \Rightarrow x_{ac} = c/4$ et pour $M > 2 \Rightarrow x_{ac} = c/2$

2. Profil en torsion

Définition

La vitesse critique de **divergence** U_D correspond à la vitesse de vol qui entraîne la ruine immédiate de la voilure par un mouvement de torsion lorsque *les propriétés de raideur du système mécaniques ne peuvent plus contenir les charges aérodynamiques*

2. Profil en torsion

Définition

La vitesse critique de **divergence** U_D correspond à la vitesse de vol qui entraîne la ruine immédiate de la voilure par un mouvement de torsion lorsque *les propriétés de raideur du système mécaniques ne peuvent plus contenir les charges aérodynamiques*

Mise en équation du problème (1/2)

- **Equilibre des moments :**

$$\mathcal{M}_{x_{\text{ref}}}^{\text{aero}} + \mathcal{M}_{x_{\text{ref}}}^{\text{élastique}} = 0$$

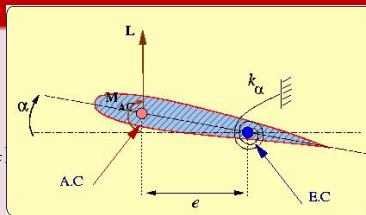
où $x_{\text{ref}} = x_{\text{ec}}$ (convention : $e > 0 \Rightarrow x_{\text{ac}} < x_{\text{ec}}$)

- **Décomposition de l'angle d'attaque**

$$\alpha = \alpha_r + \alpha_e$$

où α_r : incidence pour l'aile supposée rigide

α_e : angle de déformation élastique relatif aux effets de tangage



Mise en équation du problème (2/2)

- Moment des forces élastiques : $\mathcal{M}_{ec}^{\text{élastique}} = -K_{\alpha}\alpha_e$
avec K_{α} : coefficient de raideur (linéaire) du système mécanique

- Moment des forces aérodynamiques :

$$\mathcal{M}_{ec}^{\text{aéro}} = \mathcal{M}_{ac} + Le = C_{mac}qSc + C_LqSe$$

- Hypothèse : α est suffisamment faible pour que l'opérateur aérodynamique reste **linéaire** :

$$\begin{cases} C_L(\alpha) &= C_{L0} + \frac{\partial C_L}{\partial \alpha}\alpha + O(\alpha^2) \\ C_{mac}(\alpha) &= C_{mac0} \end{cases}$$

RQ. 1. C_{L0} , C_{mac0} et $\frac{\partial C_L}{\partial \alpha}$ sont fonction du nombre de Mach et de la géométrie du profil et de l'ailé
2. Cas d'une plaque plane dans un écoulement incompressible avec $\alpha_r = 0$:

$$\Rightarrow \frac{\partial C_L}{\partial \alpha} = 2\pi \text{ et } C_{L0} = C_{mac0} = 0$$

- Equation d'Equilibre Statique : $q \frac{\partial C_L}{\partial \alpha} Se(\alpha_r + \alpha_e) - k_{\alpha}\alpha_e = 0$

2. Profil en torsion

Conditions de divergence

- Angle élastique :

$$\alpha_e = \frac{qS}{k_\alpha} \frac{\frac{\partial C_L}{\partial \alpha} e \alpha_r}{1 - q \frac{S e}{k_\alpha} \frac{\partial C_L}{\partial \alpha}}$$

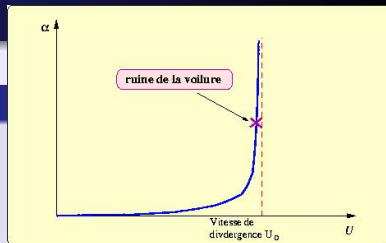
- Pression dynamique de divergence : $q_D = \frac{k_\alpha}{S e \frac{\partial C_L}{\partial \alpha}}$

- Vitesse de divergence : $U_D = \sqrt{\frac{2q_D}{\rho}}$

- Expression finale : $\alpha = \left(1 + \frac{\frac{q}{q_D}}{1 - \frac{q}{q_D}}\right) \alpha_r$

REMARQUE :

- Pour $e < 0$ la divergence est impossible
- Validité du raisonnement pour des angles élevés ?



Comportement aéroélastique non-linéaire (1/2)

- Pour les *angles de déflexion élevés*, l'**hypothèse linéaire n'est plus valable**. Il faut tenir compte des non-linéarités mécaniques (raideur) et aérodynamique (décrochage)
- **Moment des forces élastiques** : $\mathcal{M}_{ce}^{\text{élastique}} = -K_{\alpha}\alpha_e - K_{\alpha_3}\alpha_e^3$
avec $K_{\alpha} > 0$ et $K_{\alpha_3} > 0$
- **Hypothèse**: $\alpha_r = 0$ + symétrique $\Rightarrow C_{L_0} = C_{mac_0} = 0$
- **Portance**: $L = qS \left(\frac{\partial C_L}{\partial \alpha} \alpha - \frac{\partial C_L}{\partial \alpha} \Big|_3 \alpha^3 \right)$
avec $\frac{\partial C_L}{\partial \alpha} > 0$ et $\frac{\partial C_L}{\partial \alpha} \Big|_3 > 0$

REMARQUE:

- Attention au signe (-) dans l'expression de L car la portance diminue pour α élevé à cause du décrochage !

Comportement aéroélastique non-linéaire (2/2)

- E.E.S : $\mathcal{M}_{ce}^{\text{élastique}} + Le = 0$

$$\Rightarrow \alpha_e = 0 \quad \text{ou} \quad \alpha_e^2 = \frac{qeS \frac{\partial C_L}{\partial \alpha} - K_{\alpha}}{qeS \left. \frac{\partial C_L}{\partial \alpha} \right|_3 + K_{\alpha_3}}$$

2. Profil en torsion

Comportement aéroélastique non-linéaire (2/2)

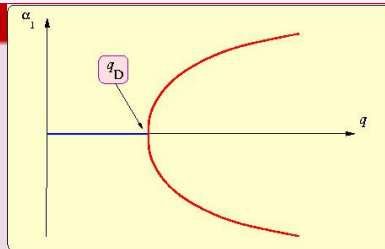
- E.E.S : $\mathcal{M}_{ce}^{\text{élastique}} + Le = 0$

$$\Rightarrow \alpha_e = 0 \quad \text{ou} \quad \alpha_e^2 = \frac{qeS \frac{\partial C_L}{\partial \alpha} - K_\alpha}{qeS \left. \frac{\partial C_L}{\partial \alpha} \right|_3 + K_{\alpha_3}}$$

1^{ier} cas : $e > 0$

Les solutions non-triviales existent ssi

$$q > \frac{K_\alpha}{eS \frac{\partial C_L}{\partial \alpha}} = q_D$$



Pour $q > q_D$ on obtient 2 solutions opposées réalisables. La position d'équilibre dépendra alors des perturbations éventuelles de l'écoulement ou des imperfections de la géométrie ou du ressort.

2. Profil en torsion

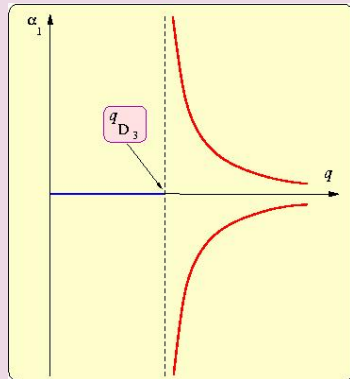
2nd cas : $e < 0$

- L'angle élastique s'écrit :

$$\alpha_e^2 = \frac{q|e|S \frac{\partial C_L}{\partial \alpha} + K_{\alpha}}{q|e|S \frac{\partial C_L}{\partial \alpha} \Big|_3 - K_{\alpha 3}}$$

- Condition de divergence :

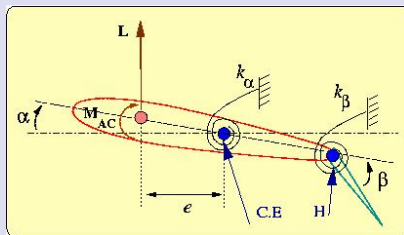
$$q = q_{D_3} = + \frac{K_{\alpha 3}}{|e|S \frac{\partial C_L}{\partial \alpha} \Big|_3}$$



REMARQUE: Cette solution théorique n'a jamais été observée expérimentalement

2. Modèle torsion+aileron

Configuration aéroélastique

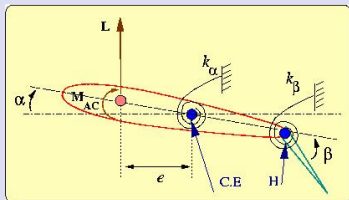


Prise en compte de l'aileron :

- H : point d'ancrage
- S_H : surface du volet par unité d'envergure
- c_H : corde
- β : angle de déflexion
- k_β : coefficient de raideur

2. Modèle torsion+aileron

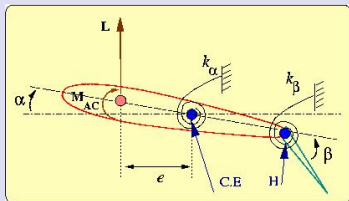
Opérateur aérodynamique (Hyp.: $\alpha_r = C_{mac0} = 0$ S.P.D.G)



- Portance:
$$L = qS \left(\frac{\partial C_L}{\partial \alpha} \alpha + \frac{\partial C_L}{\partial \beta} \beta \right) \quad > 0 \text{ suivant } \vec{e}_z$$
- Moment aéro. au F.A:
$$\mathcal{M}_{ac}^{aero} = qSc \frac{\partial C_{mac}}{\partial \beta} \beta \quad > 0 \text{ B.A } \uparrow$$
- Moment aéro. en H:
$$\mathcal{M}_H^{aero} = qS_{HC} \left(\frac{\partial C_H}{\partial \alpha} \alpha + \frac{\partial C_H}{\partial \beta} \beta \right) \quad > 0 \text{ B.F } \downarrow$$

2. Modèle torsion+aileron

Conditions d'équilibre



- Moment élastique au C.E: $\mathcal{M}_{ce}^{meca} = -K_\alpha \alpha$ $> 0 \text{ B.A } \uparrow$
- Moment élastique en H: $\mathcal{M}_H^{meca} = -K_\beta (\beta - \beta_r)$ $> 0 \text{ B.F } \downarrow$
avec $\beta = \beta_r + \beta_e$
- E.E.S: $\mathcal{M}_{ce}^{meca} + \mathcal{M}_{ac}^{aero} + L^{aero} e = 0$
 $\mathcal{M}_H^{meca} + \mathcal{M}_H^{aero} = 0$

Condition de divergence

- L'E.E.S fournit un système de 2 eqs à 2 inconnues (α et β)
- La pression dynamique de divergence q_D est déterminée par la condition :

$$\lim_{q \rightarrow q_D} \alpha = \pm \infty$$

soit:

$$\begin{vmatrix} eqS \frac{\partial C_L}{\partial \alpha} - K_\alpha & eqS \frac{\partial C_L}{\partial \beta} + qSc \frac{\partial C_{mac}}{\partial \beta} \\ qS_H c_H \frac{\partial C_H}{\partial \alpha} & qS_H c_H \frac{\partial C_H}{\partial \beta} - K_\beta \end{vmatrix} = 0$$

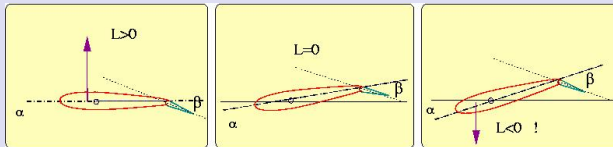
⇒ Il faut alors retenir la plus petite des deux racines réelles

APPLICATION : Commenter les effets de K_β sur q_D par rapport au cas flexion/torsion

2. Modèle 3-DOF: perte d'efficacité et inversion des gouvernes

Role de la surface de contrôle

- Adapter la portance de la voilure aux conditions de vol
- **Perte d'efficacité**: la portance diminue en fonction de β



- **Condition généralisée d'inversion des gouvernes**: le taux de variation de la portance par rapport à la variation d'angle du volet est nul :

$$\frac{dL}{d\beta} = 0 \quad \text{pour} \quad q = q_R$$

- Cas particulier d'un profil symétrique ($C_{mac} = 0$) à incidence rigide nulle ($\alpha_r = 0$): $\frac{dL}{d\beta} = 0 \Rightarrow L = 0$ pour $q = q_R$

2. Modèle 3-DOF: perte d'efficacité et inversion des gouvernes

Calcul de q_R pour $\alpha_r = 0 = C_{mac0} = 0$ et $K_\beta \rightarrow \infty$ (S.P.D.G)

- La condition $\frac{dL}{d\beta} = 0$ donne : $\frac{\partial \alpha}{\partial \beta} = -\frac{\frac{\partial C_L}{\partial \beta}}{\frac{\partial C_L}{\partial \alpha}}$
- Dérivons l'eq. d'équilibre des moments au F.A par rapport à β
$$K_\alpha \frac{\partial \alpha}{\partial \beta} = qSc \frac{\partial C_{mac}}{\partial \beta} + qSe \frac{\partial C_L}{\partial \alpha} \frac{\partial \alpha}{\partial \beta} + qSe \frac{\partial C_L}{\partial \beta}$$
- En se plaçant à la condition d'inversion des gouvernes, on obtient
alors: $q_r = -\frac{K_\alpha \frac{\partial C_L}{\partial \beta}}{Sc \frac{\partial C_L}{\partial \alpha}} \left(\frac{\partial C_{mac}}{\partial \beta} \right)^{-1}$

2. Modèle 3-DOF: perte d'efficacité et inversion des gouvernes

Calcul de q_R pour $\alpha_r = 0 = C_{mac0} = 0$ et $K_\beta \rightarrow \infty$ (S.P.D.G)

- La condition $\frac{dL}{d\beta} = 0$ donne : $\frac{\partial \alpha}{\partial \beta} = -\frac{\frac{\partial C_L}{\partial \beta}}{\frac{\partial C_L}{\partial \alpha}}$
- Dérivons l'eq. d'équilibre des moments au F.A par rapport à β
$$K_\alpha \frac{\partial \alpha}{\partial \beta} = qSc \frac{\partial C_{mac}}{\partial \beta} + qSe \frac{\partial C_L}{\partial \alpha} \frac{\partial \alpha}{\partial \beta} + qSe \frac{\partial C_L}{\partial \beta}$$
- En se plaçant à la condition d'inversion des gouvernes, on obtient
alors: $q_r = -\frac{K_\alpha \frac{\partial C_L}{\partial \beta}}{Sc \frac{\partial C_L}{\partial \alpha}} \left(\frac{\partial C_{mac}}{\partial \beta} \right)^{-1}$

Vitesse critique d'inversion des gouvernes

$$U_R = \left(\frac{2K_\alpha}{\rho Sc} \right)^{1/2} \left(-\frac{\partial C_{mac}}{\partial \beta} \right)^{-1/2} \left(-\frac{\partial C_L}{\partial \beta} \right)^{1/2} \left(\frac{\partial C_L}{\partial \alpha} \right)^{-1/2}$$

2. Modèle 3-DOF: perte d'efficacité et inversion des gouvernes

Efficacité élastique

- Le critère d'efficacité élastique Eff est défini par le rapport entre le cas élastique et le cas rigide, de la variation de portance en fonction de l'angle du volet :

$$Eff = \left(\frac{dL}{d\beta} \right) \left(\frac{dL_r}{d\beta} \right)^{-1}$$

avec $L_r = L|_{(K_\alpha \rightarrow \infty, K_\beta \rightarrow \infty)} = qS \frac{\partial C_L}{\partial \beta} \beta_r$

2. Modèle 3-DOF: perte d'efficacité et inversion des gouvernes

Efficacité élastique

- Le critère d'efficacité élastique Eff est défini par le rapport entre le cas élastique et le cas rigide, de la variation de portance en fonction de l'angle du volet :

$$Eff = \left(\frac{dL}{d\beta} \right) \left(\frac{dL_r}{d\beta} \right)^{-1}$$

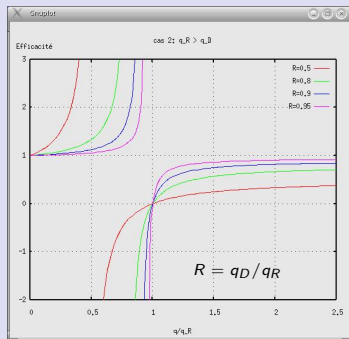
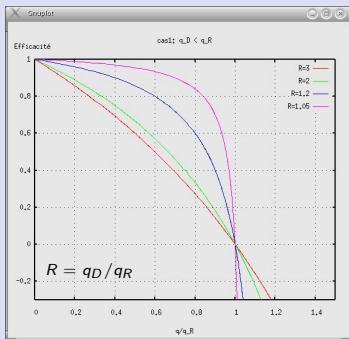
avec $L_r = L|_{(K_\alpha \rightarrow \infty, K_\beta \rightarrow \infty)} = qS \frac{\partial C_L}{\partial \beta} \beta_r$

Ecriture finale

Après calcul, on montre que: $Eff = \frac{1 - q/q_R}{1 - q/q_D}$

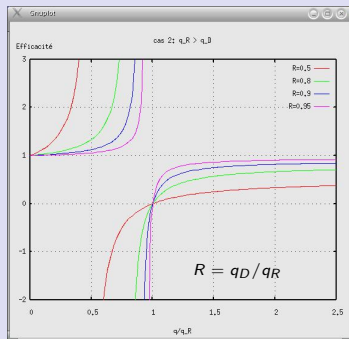
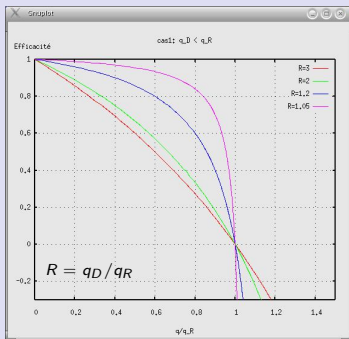
2. Modèle 3-DOF: perte d'efficacité et inversion des gouvernes

Commentaires



2. Modèle 3-DOF: perte d'efficacité et inversion des gouvernes

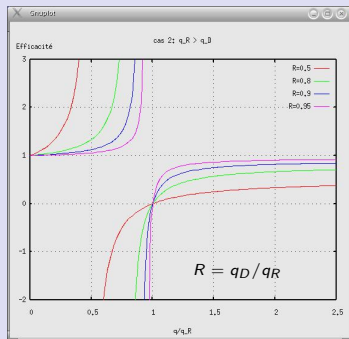
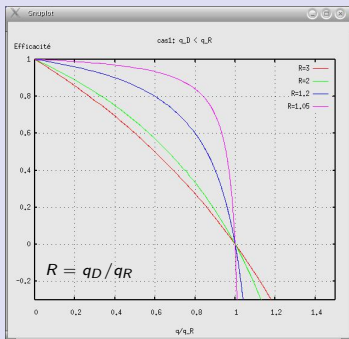
Commentaires



- Pour $Eff \sim 1$, les effets élastiques sont négligeables et les performances sont optimales
- Pour $Eff \sim 0$, les conditions critiques d'inversion sont atteintes

2. Modèle 3-DOF: perte d'efficacité et inversion des gouvernes

Commentaires



- Pour $Eff \sim 1$, les effets élastiques sont négligeables et les performances sont optimales
- Pour $Eff \sim 0$, les conditions critiques d'inversion sont atteintes
- **CONCLUSION:** q_R et q_D doivent être le plus proche possible pour conserver une efficacité élastique élevée le plus longtemps possible